



Fotografía 1.- Vista general desde el norte de la desembocadura del Valle de Pozo Negro. Se observa el relleno del cauce del valle por las lavas cuaternarias procedentes de los volcanes de Liria y La Laguna. Su tramo final está semicubierto por arenas eólicas. Las laderas del valle son apilamientos de coladas basálticas de la Fase miocena. **MIOCENO**



Fotografía 10.- Vista de un típico valle excavado en la Fase miocena: barranco de Leandro.
MIOCENO



Fotografía 11.- Desembocadura de Gran Valle, en donde se observan las coladas basálticas de la Faše miocena. **MIOCENO**



Fotografía 12.- Coladas basálticas "pahoehoe" de la Fase miocena, con pequeños tubos - volcánicos, en la ensenada de Leandro. **MIOCENO**

Fotografía 13.- Potente depósito de sedimentos aluviales (90 m) intercalado en las coladas basálticas de la Fase miocena, en la Playa de la Cueva. **MIOCENO**





Fotografía 14.- Depósitos sedimentarios intercalados en las coladas basálticas de la Fase miocena, en la Playa de Los Vallichuelos. **MIOCENO**



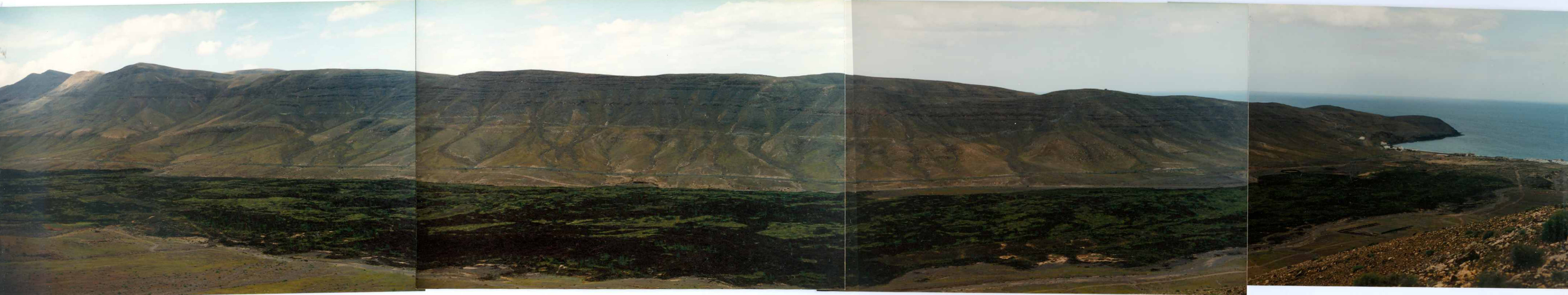
Fotografía 15.- Detalle de los depósitos sedimentarios (conglomerados aluviales) de la fotografía anterior. Las coladas suprayacentes corresponden a la base del tramo medio de la Fase miocena. **MIOCENO**



Fotografía 16.- Otro aspecto de los depósitos aluviales de la fotografía nº 14.
MIOCENO



Fotografía 17.- Sedimentos aluviales intercalados en las coladas basálticas de la Fase miocena, en la ladera sur del barranco de los Vallichuelos. **MIOCENO**



Fotografía 18.- Panorámica del Valle de Pozo Negro, visto desde la ladera sur, donde se aprecia el relleno del cauce por la colada cuaternaria de los volcanes de Liria y La Laguna. **CUATERNARIO**



Fotografía 19.- Dunas pleistocenas cubiertas por la emisión de los volcanes de Liria y La Laguna, en el barranco de Abajo, del Valle de Pozo Negro.
CUATERNARIO



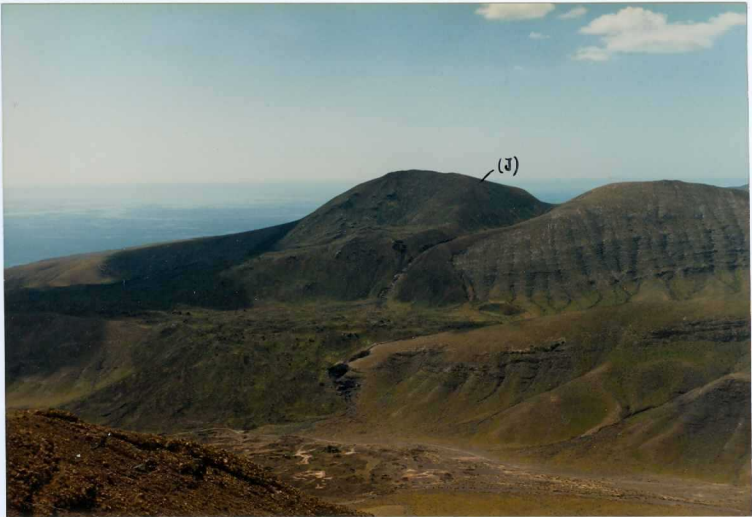
Fotografía 2.- Panorámica de la zona del pico Vigán (V) donde se aprecia el aspecto general de las coladas basálticas del tramo inferior de la Fase miocena. Las partes altas de los relieves del fondo corresponden a los tramos medios y superiores. **MIOCENO**



Fotografía 20.- Panorámica de la alineación de volcanes cuaternarios, Caldera Arrabales (A), La Calderita (C), Caldera de Liria (L), Caldera de La Laguna (LL) y Caldera de Gairía (CG), rodeados de sus malpaíses. **CUATERNARIO**



Fotografía 21.- Fisura eruptiva asociada al centro de emisión de Caldera Arrabales.
CUATERNARIO



Fotografía 22.- Vista general desde la Atalaya de Pozo Negro, del volcán cuaternario de Jacomar (J), emplazado sobre los relieves basálticos miocenos. Una de las emisiones (en primer término) se encauzó hacia el barranco Valle de la Cueva. **CUATERNARIO**



Fotografía 23.- Colada y malpaís procedente del volcán de Jacomar, en el fondo del barranco Valle de la Cueva. CUATERNARIO



Fotografía 24.- Derrame en abanico de la emisión principal del volcán de Jacomar.
CUATERNARIO



Fotografía 25.- Aspecto de detalle de las coladas del volcán de Jacomar, en el valle del Cuchillo de Juanicón. **CUATERNARIO**



Fotografía 26.- Pequeño centro de emisión adventicio del volcán de Jacomar, en el valle del Cuchillo de Juanicón. **CUATERNARIO**



Fotografía 27.- Depósitos basculados correspondientes a la rasa marina jandiense (Pleistoceno superior), en Pozo Negro. CUATERNARIO



Fotografía 28.- Rasa marina erbanense (Holoceno) en la desembocadura del barranco Valle de la Cueva. HOLOCENO



Fotografía 29.- Detalle de la rasa erbanense de la fotografía anterior. HOLOCENO



Fotografía 3.- Intrusión traquítica de los Morros de Pozo Negro (M), sobre la cual se apoya el volcán cuaternario Caldera de Liria (L). **MIOCENO**



Fotografía 30.- Rasa marina erbanense en las inmediaciones de las Casas de Jacomar.
HOLOCENO



Fotografía 31.- Cantera de picón en el volcán Caldera de Liria. CUATERNARIO

*ESTA FOTO PASA A TUINEJE (1095 II)



Fotografía 32.- Cantera de picón en los depósitos del volcán de Jacomar, en la ladera norte del Valle de Jacomar. CUATERNARIO



Fotografía 4.- Dique traquítico (T) atravesando coladas basálticas del tramo inferior de la Fase miocena. **MIOCENO**



Fotografía 5.- Potente colada basáltica con disyunción columnar (Fase miocena), en la la
dera norte del valle de Pozo Negro. **MIOCENO**



Fotografía 6.- Panorámica desde el norte, del Tablero del Saladillo. Se observa la discordancia erosiva entre distintos tramos de la Fase miocena: inferior (I), medio (M) y episodios tardíos (TS). MIOCENO

*ESTA FOTO PASA A PUNTA DEL MUELLITO (1096 IV)



Fotografía 7.- Discordancia entre el tramo medio (M) y episodio tardío (T) de la Fase - miocena, en el Tablero del Saladillo. **MIOCENO**



Fotografía 8.- Discordancia entre el tramo inferior (I) y episodio tardío (T) en la ladera sur del Tablero del Saladillo (bco. Valle de La Cueva). MIOCENO



Fotografía 9.- Aspecto general de las coladas de la Fase miocena entre la Ensanada de Valle Corto y Punta de las Huertas. Se aprecia el buzamiento hacia el mar. En primer término, diques que atraviesan las coladas. **MIOCENO**